

II-93 井戸枠の抵抗を考慮した場合の地下水の非定常運動についての研究

正員 東京大学 島祐之

(1) はじめに

一般にある地盤の水理学的特性(透水係数等)と現地実験より求めようとする場合には、揚水試験を行う事により上記特性を算定する場合がある。これには、定常状態で行う場合と、非定常状態で行う場合がある。後者に適合するものとして Theis の理論^①は有名である。しかし、この理論解を現地実験に適用しようとすると際につきのような問題点がある。すなわち Theis の理論では井戸よりの一定揚水量が、井戸に流入してくる流量と全く等しい状態で揚水試験をしてやる必要がある。しかし、井戸がある断面を持ち、かつ井戸枠の抵抗が存在する場合には、井戸にたまっている水量と揚水量との関係が判明しなければ、地盤および井戸枠の透水性を知ることは困難である。そこで、ここでは井戸枠の透水係数 A_w と井戸の断面積元 A_0 を考慮に入れた理論解を求め、その結果を使い、一つの実測例^②に適用してみた結果をここにまとめてみた。

(2) 理論

まず井戸の各ディメンション及び座標を図-1のごとく定めた。すなわち、井戸の水位 h 、井戸枠外周の水位 h_w 、任意点の水位 h' 、揚水量 Q_w 、井戸への流入量 Q_{w0} 、任意点の流量 Q_r 、井戸枠の厚さ l 、井戸断面積元 $A_0 = A_w l$ とする。ここで基礎方程式として次のようなものを考える。

$$\text{井戸に関する連続の方程式} \quad Q_w = Q_{w0} - A_0 \frac{dh}{dt}, \quad A_0 = \pi r^2 w \quad (1)$$

$$\text{井戸枠の抵抗を考えた運動方程式} \quad Q_{w0} = 2\pi r_w \frac{h_0 + h_w}{2}, \quad k' = \frac{h_w - h_0}{l} \quad (2)$$

$$\text{透水層の方程式} \quad \text{運動方程式} \quad Q_r = 2\pi r h k \frac{dh}{dr} \quad (3)$$

$$\text{連続の方程式} \quad \frac{dQ_r}{dr} = 2\pi r h \frac{dh}{dr} \quad (4)$$

さて、我々は揚水が次の二つに行われたものとする。

$$\left. \begin{array}{ll} Q_0 = Q_0 (\text{const}) & t_0 \geq t \geq 0 \\ Q_0 = 0 & t_0 < t \end{array} \right\} \quad (5)$$

(1)(2)式において、 h_0 の変化に比して h_w の変化は小さいと考え、かつ $h_w \approx H$ とし、 Q_{w0} は初期線形化すれば、

$$\frac{dQ_{w0}}{dt} + \frac{2h'}{l} \frac{H}{r_w} (Q_{w0} - Q_0) = 0$$

これを(5)の條件のもとに解くと

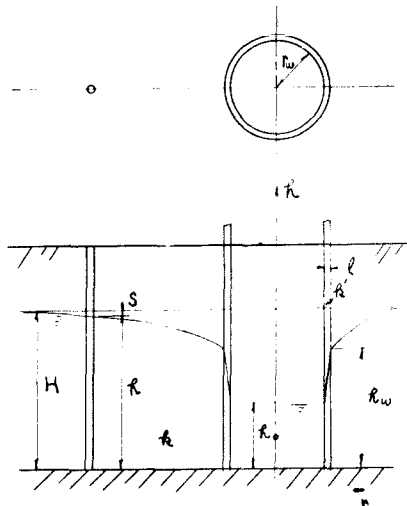


図-1

$$Q_w = Q_0 \left(1 - e^{-\frac{2Hk'}{rw} t} \right) \quad 0 \leq t \leq t_0$$

$$Q_w = Q_0 \left(1 - e^{-\frac{2Hk'}{rw} t_0} \right) e^{-\frac{2Hk'}{rw} (t-t_0)} \quad t > t_0$$

次に(3),(4)において $S = H - h$ として線型化すると

$$\frac{\partial S}{\partial t} = \frac{kH}{r} \left(\frac{\partial^2 S}{\partial r^2} + \frac{1}{r} \frac{\partial S}{\partial r} \right) \quad (8)$$

と $t=0, S=0, \rightarrow 0, r \rightarrow \infty, S=0,$

$$t \rightarrow 0 \text{ (または } t \rightarrow \infty) \lim_{r \rightarrow 0, (t \rightarrow \infty)} 2\pi k r H \frac{\partial h}{\partial r} = Q_w$$

もとに解くと、周知のとおり Theis の解が得まる。

$$S = \frac{Q_w}{4\pi k H} \int_u^\infty \frac{e^{-u}}{u} du \quad \therefore u = \frac{r^2}{4kHt} \quad (9)$$

ただし、これは $Q_w = \text{const} (t > 0)$ としての解であるから、(7) とく時間と共に Q_w が変化する場合の解は Duhamel 積分を使つて次のとく表わせる。

$$S = \frac{1}{4\pi k H} \int_0^t \frac{dQ_w}{dz} dz \int_{\frac{r^2}{4kH(t-z)}}^\infty \frac{e^{-u}}{u} du \quad (10)$$

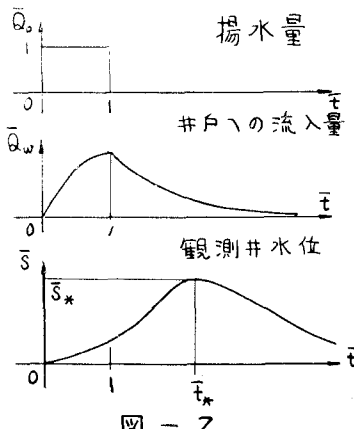
ここで、(7)式に対する解を(10)式によつて求め、以下に示す様な無次元化した要素を使って書きながると、最終的には(11)(12)(13)のとくとなる。

$$\begin{aligned} \bar{t} &= \frac{t}{t_0}, \bar{z} = \frac{z}{t_0}, \bar{Q}_w = \frac{Q_w}{Q_0}, \bar{Q}_0 = \frac{Q_0}{Q_0} = 1 \\ \alpha &= \frac{2k'}{l} \frac{H}{rw} t_0, \beta = \frac{r^2}{4kHt_0}, M = \frac{Q_0 t_0}{2\pi r^2} \end{aligned} \quad \} \quad (11)$$

$$\bar{S} = \frac{S}{M}$$

$$\bar{S} = \frac{S}{M} = \alpha \beta \int_0^{\bar{t}} e^{-\alpha \bar{z}} \int_{\beta(\frac{1}{\bar{t}-\bar{z}})}^\infty \frac{e^{-u}}{u} du d\bar{z} \quad | \bar{z} \neq 0 \quad (12)$$

$$\bar{S} = \alpha \beta \int_0^1 e^{-\alpha \bar{z}} \int_{\beta(\frac{1}{\bar{t}-\bar{z}})}^\infty \frac{e^{-u}}{u} du d\bar{z} - \int_1^{\bar{t}} (1-e^{-\alpha \bar{z}}) \bar{e}^{-\alpha(\bar{z}-1)} \int_{\beta(\frac{1}{\bar{t}-\bar{z}})}^\infty \frac{e^{-u}}{u} du d\bar{z} \quad (13)$$



(12),(13)式は、 α, β の 2 つのパラメータを含み、それら無次元化された井戸栓の抵抗及び地層の透水係数を表わすものである。なおこれら 2 式に対する計算は、電子計算機によつて計算すれば、比較的簡単にできる。

その結果は、図-2 に揚水量との関係と一緒に示してあるような性質をもつてゐる。なお、 $\beta = 0.20, \alpha = 0.025$ より $\alpha = 0.10$ までかえて計算させた結果は図-3 に示してある。この図より、 $\beta = \text{一定}$ のとき、 α (井戸栓の抵抗) が小さくなるにつれて、観測井に表われる水位変化も大きくなり、又その山も早く表われる事がわかる。

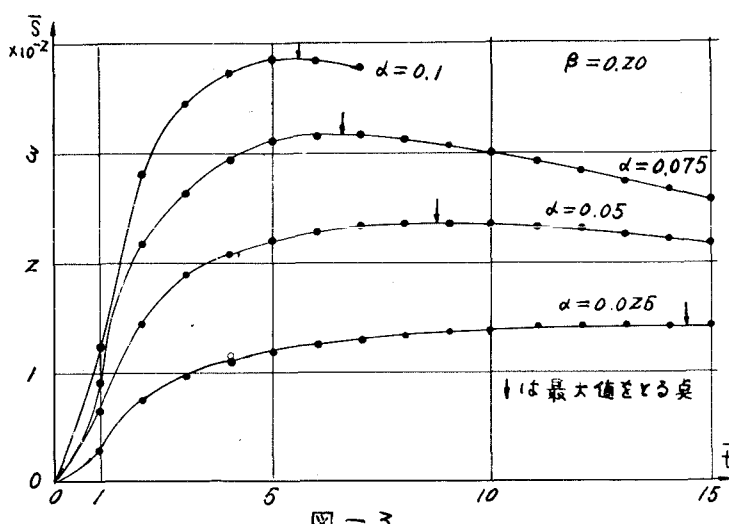


図-3

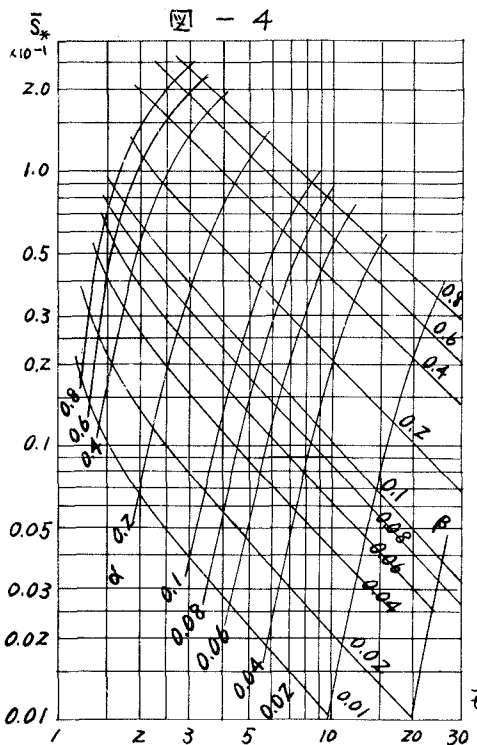


図-4

(3) 解析方法

さて図-2 ③ に示したるについての曲線と、現地実験より求めた曲線とが一致する様にパラメータ α 及び β を決めてやることを考える。もし実験値に合う α , β が求まれば(1)に示した関係より k'/e (比透水係数) を求めることができる。我々は、実験曲線にて最も注目できる点、すなわち水位変化の最大となる点 (\bar{t}_*, \bar{S}_*) に注目して、実験曲線の山を

理論曲線。山が一致する様に α , β を決定することを考えた。そのためには、パラメータ α , β を $0.01 \sim 0.8$ まで変えたときの理論曲線に生ずる最大値をとる点 (\bar{t}_*, \bar{S}_*) を電子計算機により計算し、それと、整理したのが図-4 および図-5 である。これらの図を使用すれば事により、特定的な揚水実験より、透水係数 k' および井戸柱の比透水係数 k'/e を求めることは非常に簡単となる。以下にその方法を記す。

① 現地実験との観測値より任意の観測井に生ずる水位変化の最大値 S_{max} とそれまでの揚水開始よりの時間 t_* を求めて、 $\bar{t}_* = S_{max}/M$ と \bar{S}_* を求める。但し M の計算にポロシティ入を適当に仮定する事が必要である。

② 次に (\bar{t}_*, \bar{S}_*) の点を 図-4 及び図-5 中にプロットして、その点にうねる d , β の値を読みとる。

③ (1)式に与えた関係、即ち $\lambda = \frac{\pi r^2}{4H_0\beta}$,

$$k'/e = \lambda \frac{rw}{2H_0} \quad | \rightarrow \text{より地層の透水係数 } k' \text{ 及び井戸柱の比透水係数 } k'/e \text{ を求めることができます。}$$

(4) 実験例に対する応用

②

東大、水理研究室では以前に矢板井戸に関する現地実験を行った事がある。そのときのデータについて、上記の方針により解析を行ってみた。矢板井戸は半径 $rw = 1.57$ m であり、井戸柱として矢板を使用したものである。各種要素を列記すると次のようになる。

透水層の厚さ $H = 4.11 \text{ m}$
井戸中心より観測井までの距離 $\delta = 3.09 \text{ m}$

揚水量 $Q_0 = 0.0196 \text{ m}^3/\text{sec}$
揚水時間 $t_0 = 27 \text{ min}$
観測井は南北2つ方杯の位置に作られており、それぞれ
井戸に生じた、水位変化の山は次のとくなっていふ。

北側観測井

$$S_{\max} = 26.6 \text{ cm}$$

$$\bar{t}_* = 2.8$$

南側観測井

$$S_{\max} = 7.5 \text{ cm}$$

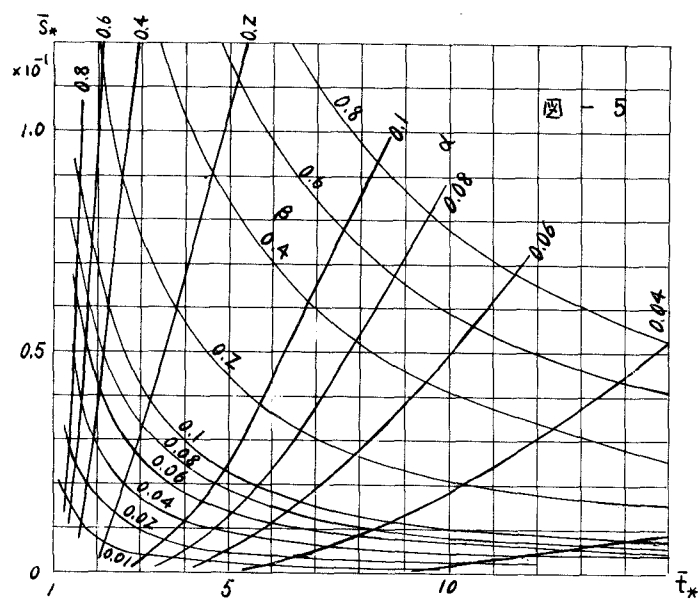
$$\bar{t}_* = 7.4$$

ここで、ボローネー入 = 0.4 を仮定して S_* を求めた後、それらの点を図-1.5 中にプロットし
その点に相当する α, β を読みとると表-1 の様な値となる。又それらの値より井戸栓(矢板)の比透
水係数、地層の透水係数を求めて、同じ表に示して
ある。結果は北、南で相当な違いが生じてゐるが
(これは比例での矢板に欠陥がある事(実験中より明白である事柄である。)が表われてゐるわけ
である。

(5) 結び

最後にこの解析法の特長とある点を上げて結論とする。

- (1) 現地実験よりの解析で問題となる井戸の断面積と井戸栓の抵抗係数を考慮した解析法である。
- (2) 現地実験によって得られたデータに対して、簡単な計算を加えた後、図-4、図-5を使用
することにより非常に簡単に、その地層の透水係数と井戸栓の比透水係数が求まる。
- (3) 地層の透水係数、及び井戸栓の比透水係数が別々に、同時に求められる事がある。
- (4) 図-4の α, β の値ばかりでなく、広範囲の値を網羅しているので、これ自体实用性は十分ある。



	α	$R'_e \text{ cm/sec}$	β	$R_e \text{ cm/sec}$
北側	0.15	1.79×10^{-5}	0.025	5.98×10^{-7}
南側	0.064	7.64×10^{-6}	0.20	7.20×10^{-2}

参考文献

- ① 物理水理学(木村, 安室) P552 [20.5] 非定常 流
- ② 日本鋼管矢板止水性に関する理験試験 (昭和24年3月)